

绵羊 *MXD3* 基因的生物信息学分析

张晏铭, 韩玉玲, 马延龙, 张小雪

(甘肃农业大学动物科学技术学院, 甘肃 兰州 730070)

摘要: MAX 二聚化蛋白 3 (MAX dimerization protein 3, *MXD3*) 在肿瘤的增殖、凋亡、侵袭和转移过程中起重要作用, 广泛存在于多种动物体内。为探究 *MXD3* 基因在绵羊体内的功能, 运用生物信息学数据库及其软件, 分析了该基因及其编码的产物。结果发现, 绵羊 *MXD3* 基因总共编码了 206 个氨基酸残基, 所编码的蛋白质分子式为 $C_{1000}H_{1650}N_{332}O_{315}S_6$, 分子质量为 23 556.50 KDa, 理论等电点 pI 为 9.32, 半衰期为 30 h, 不稳定指数为 88.30。通过基本理化性质分析可知, 绵羊 *MXD3* 主要在细胞核发挥作用, 不属于分泌蛋白, 不存在信号肽序列, 不存在跨膜结构, 是亲水性蛋白。该蛋白的二级结构主要是以无规卷曲、 α 螺旋组成, 而三级结构预测结果与二级结构相符。

关键词: 绵羊; *MXD3* 基因; 生物信息学分析

中图分类号: S826

文献标志码: A

文章编号: 2097-2172(2024)03-0217-05

doi: 10.3969/j.issn.2097-2172.2024.03.005

Bioinformatics Analysis of Ovine *MXD3* Gene

ZHANG Yanming, HAN Yuling, MA Yanlong, ZHANG Xiaoxue

(College of Animal Science and Technology, Gansu Agriculture University, Lanzhou Gansu 730070, China)

Abstract: MAX dimerized protein 3 (*MXD3*) gene plays an important role in tumor proliferation, apoptosis, invasion and metastasis, which is widely present in a variety of animals. In order to explore the function of *MXD3* gene in sheep, bioinformatics analysis of *MXD3* gene and its encoded products was conducted by using bioinformatics databases and software. The results showed that *MXD3* gene encoded 206 amino acid residues, the protein molecular formula was $C_{1000}H_{1650}N_{332}O_{315}S_6$, the molecular weight was 23 556.50 KDa, isoelectric point pI was 9.32, the half-life was 30 h, and the instability index was 88.30. Sheep *MXD3* protein subcells were mainly located in nucleus, which was not a secreted protein and therefore no signal peptide sequence was detected. No transmembrane structure was found and was regarded as a hydrophilic protein. The secondary structure of the protein was composed of random coil and α helix, and the predicted results of tertiary structure were consistent with the secondary structure.

Key words: Sheep; *MXD3* gene; Bioinformatics analysis

MXD3 基因是 *Mad* 基因家族的一员, *MXD3* 基因的转录组和蛋白质在细胞增殖过程中发挥一定作用。研究发现, 人 *MXD3* 基因在肝癌细胞中的表达要高于正常肝细胞中的表达, 且高表达 *MXD3* 基因的肝细胞肝癌患者生存率低于低表达 *MXD3* 基因的肝细胞肝癌患者, 表明 *MXD3* 是肝细胞肝癌的潜在生物学标志物和独立的预后指标^[1]。人 *MXD3* 基因在髓母细胞瘤细胞中异常高表达, 在髓母细胞瘤生物发生、维持和增殖中起重要作用^[2-5]。据相关报道, 该基因的 siRNA 已被用于神经母细胞瘤和急性 B 淋巴细胞白血病的治疗, 而且癌细胞的增

殖明显受其抑制^[3]。*MXD3* 基因在许多人类肿瘤中有表达, 特别是在中枢神经系统肿瘤中, 在胶质母细胞瘤中最为显著^[4]。*MXD3* 基因在小鼠成神经管细胞瘤模型中也有表达, 敲除 *MXD3* 基因后, 会减少小鼠成神经管细胞瘤的增生^[6]。小鼠 *MXD3* 基因在小脑中的增殖作用及其在小脑肿瘤中的过表达一致。*MXD3* 基因在过渡性 IgD 中表达 - 脾脏中的 B 细胞, 其表达在小鼠成熟过程中降低。因此, 前体 B 细胞急性淋巴细胞白血病样品中的高 *MXD3* 基因水平可能反映了白血病细胞的成熟性质^[5]。*MXD3* 基因在小鼠髓母细胞瘤模型表

收稿日期: 2023-11-18; 修订日期: 2024-01-30

基金项目: 甘肃农业大学大学生创新创业训练计划(202304027)。

作者简介: 张晏铭(2002—), 男, 河北唐山人, 本科在读, 研究方向为动物科学。Email: 3339094955@qq.com。

通信作者: 张小雪(1984—), 女, 湖北武汉人, 副教授, 主要从事动物遗传育种与繁殖研究及教学工作。Email: zhangxx@gsau.edu.cn。

达水平增多，过多的 MXD3 蛋白与 Max 异二聚体竞争结合 DNA 结合位点，抑制 Myc 蛋白的作用，由此致使细胞增殖失控和抑癌作用的下降^[7-9]。目前，关于 MXD3 基因及其蛋白的结构与功能的研究主要集中于人和小鼠，而对绵羊的研究很少。本文利用 NCBI 数据库等，结合生物信息学手段对绵羊 MXD3 基因及其编码产物理化性质、蛋白质结构、生物学功能等进行了研究，以探究该基因及其编码产物的结构与生物学功能。

1 材料与方法

1.1 序列来源

数据资料来源于 NCBI 网站的 GenBank 数据库，其中包括绵羊(XM_042250364.2, XP_042106298.1)、人(NM_000044.6, NP_000035.2)、兔子(XM_002710426.4, XP_002710472.1)、狗(XM_038663261.1, XP_038519189.1)、牛(NM_001193259.1, NP_001180188.1)、猪(NM_001244104.1, NP_001231033.1)、马(XM_023617137.1, XP_023472905.1)、山羊(XM_018050624.1, XP_017906113.1)等 8 个物种的 mRNA 序列与氨基酸序列。括号内为 GenBank 登录号。

1.2 方法

采用 NCBI 的 ORF Finder 程序分析绵羊 MXD3 基因的开放阅读框，使用 Bioedit 及 ProtParam 软件分析绵羊 MXD3 基因的理化性质，通过 PSORT II 软件预测绵羊 MXD3 蛋白进行亚细胞定位，选择 SignalP 3.0 软件预测绵羊 MXD3 蛋白潜在信号肽剪切位点，采用 TMHMM 程序预测绵羊 MXD3 蛋白跨膜螺旋区域，通过 Smart 软件分析绵羊 MXD3 蛋白保守结构域，使用 Prot Scale 在线工具分析绵羊 MXD3 蛋白亲疏水性，采用 Jpred 软件预测绵羊 MXD3 蛋白质二级结构，通过 Swiss-model 在线软件预测绵羊 MXD3 蛋白三级结构，采用 DNAMAN

软件分析多序列比对及同源性^[10-17]。

2 结果与分析

2.1 绵羊 MXD3 基因开放阅读框分析

对开放阅读框分析得知(图 1)，绵羊 MXD3 基因中含有 1 个最长 621 bp 的 ORF，起始密码子位于 604 bp 处，终止密码子位于 1 224 bp 处，编码了 206 个氨基酸残基。

2.2 绵羊 MXD3 基因编码产物理化性质分析

蛋白质的基本性质包括相对分子量、氨基酸组成、亲水性平均值、等电点等。采用 Prot-Param 和 Bioedit 软件对绵羊 MXD3 基因编码产物的理化性质分析可知，绵羊 MXD3 基因分子式为 C₁₀₀₀H₁₆₅₀N₃₃₂O₃₁₅S₆，编码 206 个氨基酸残基，相对分子质量为 23 556.50 KDa，理论等电点 pI 为 9.32。该蛋白共含 31 个负电荷残基数 (Asp+Glu)、36 个正电荷残基数 (Arg+Lys)。其氨基酸组如图 2 所示。其中 Arg(精氨酸)和 Leu(亮氨酸)含量最高，所占比例为 13.59%；Trp(蛋氨酸)含量最少，所占比例为 1.20%。该基因编码产物半衰期为 30 h，不稳定指数为 88.30，属于不稳定蛋白质。

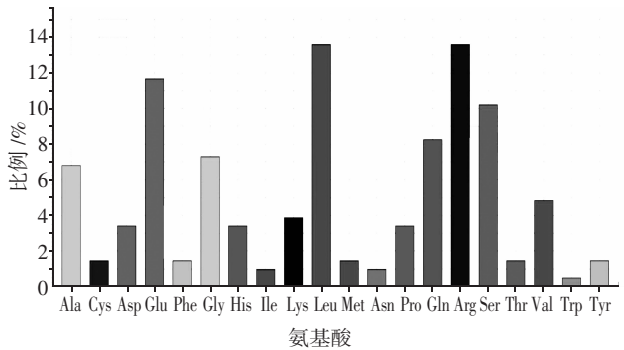


图 2 绵羊 MXD3 基因编码的蛋白氨基酸组成

2.3 绵羊 MXD3 蛋白亚细胞定位

通过 PSORT II 软件预测得知，绵羊 MXD3 基因编码蛋白的亚细胞分布于细胞核的可能性最大 (69.6%)，分布于细胞骨架的可能性次之(13.0%)，

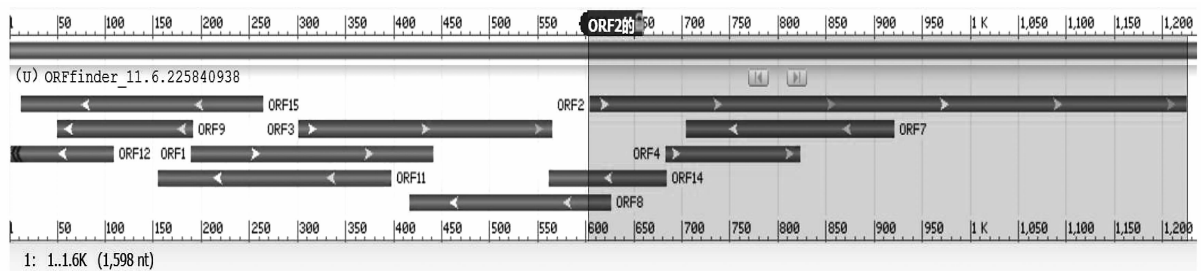


图 1 绵羊 MXD3 基因序列的 ORF 分析

分布于高尔基体、细胞质、质膜、分泌囊泡系统的可能性最小(4.3%)。由此推断, 绵羊 *MXD3* 基因主要在细胞核中发挥生物学作用, 其次在细胞骨架中发挥作用。

2.4 不同物种 *MXD3* 蛋白的同源性分析

采用 DNAMAN 软件将人和绵羊、兔子、牛、狗、山羊、猪、马 7 个动物的氨基酸序列进行序列比对。结果表明, *MXD3* 氨基酸序列在物种间的表达相对保守, 山羊和绵羊的同源性趋于一致, 为 100%; 牛与绵羊同源性次之, 为 98%; 猪和马仅与绵羊同源性有少量不同, 均为 95%; 兔子与绵羊同源性为 91%; 狗与绵羊同源性更低, 为 86%; 而人和其余 7 种动物的同源性最低, 为 17%(图 3、图 4)。

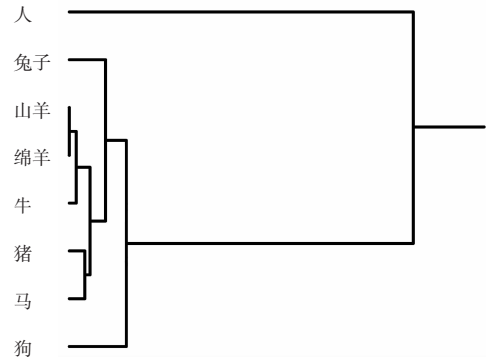


图 4 8 个物种的 *MXD3* 基因编码产物序列的同源树

2.5 绵羊 *MXD3* 蛋白潜在信号肽剪切位点预测

通过 SignalP 3.0 软件对绵羊 *MXD3* 蛋白分析

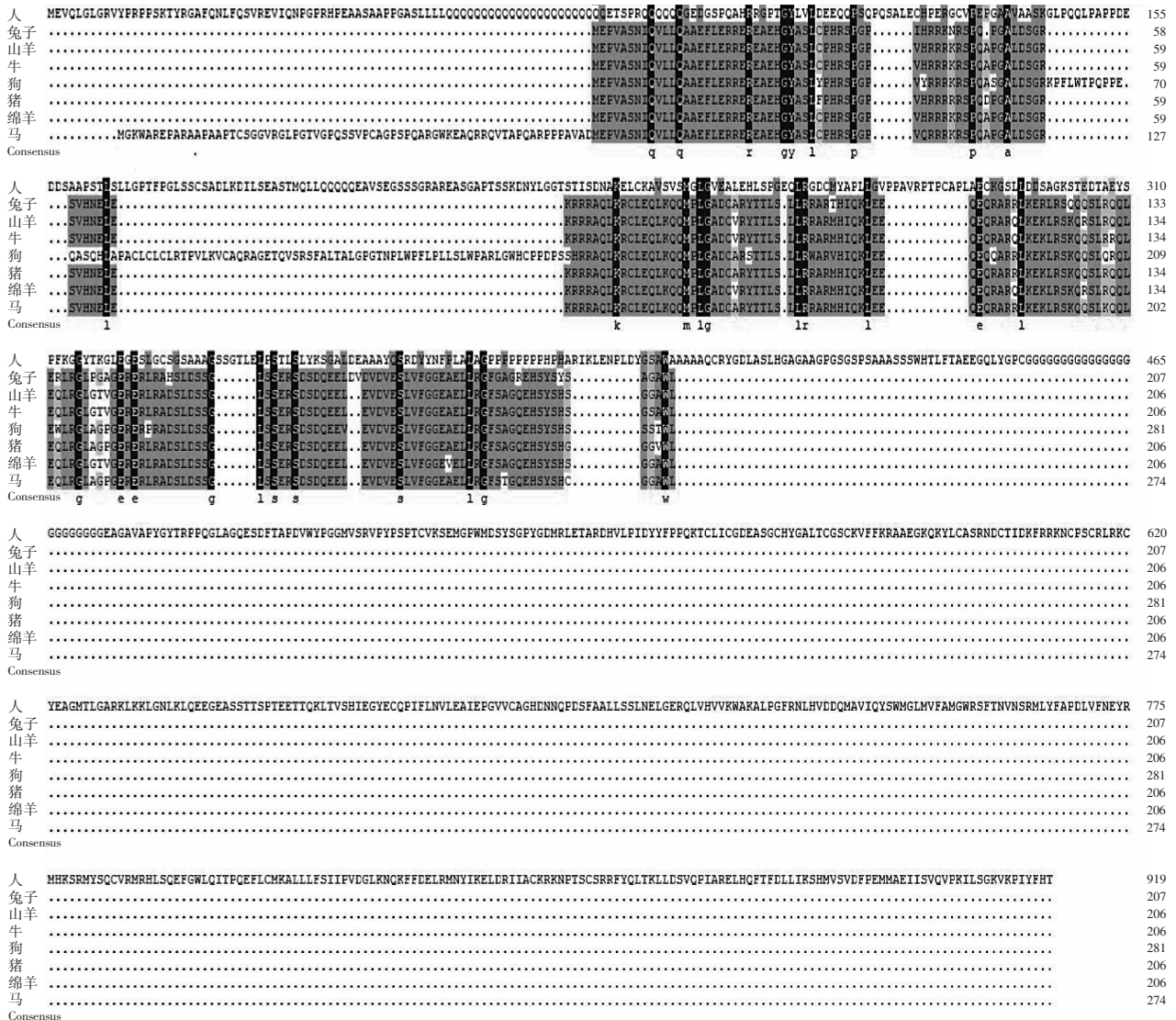


图 3 8 个物种的 *MXD3* 基因编码产物序列的同源性分析

可知，绵羊 *MXD3* 基因编码产物的原始剪切位点 (C 值)、综合剪切位点估计值 (Y 值)、信号肽位点估计值 (S 值) 分别在第 26 位、第 3 位、第 1 位，最大值分别为 0.124、0.037、0.217 (图 5)。由此推测，绵羊 *MXD3* 基因编码产物不存在信号肽，是非分泌性蛋白，为不具跨膜区域的非跨膜蛋白。

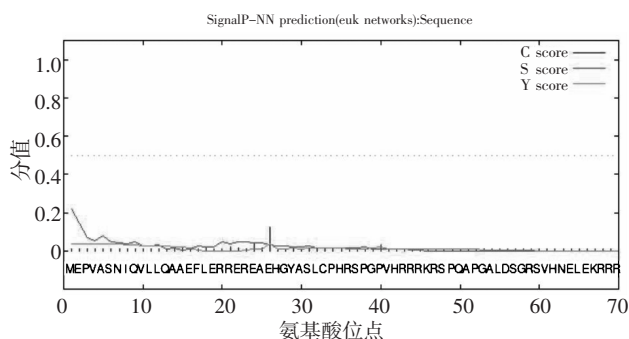


图 5 绵羊 *MXD3* 基因蛋白潜在信号肽剪切位点分析

2.6 绵羊 *MXD3* 蛋白跨膜螺旋结构预测

通过 TMHMM Server v.2.0 在线软件进行分析表明，绵羊 *MXD3* 基因编码产物在膜外无任何序列，该蛋白无跨膜结构，为非跨膜蛋白 (图 6)。

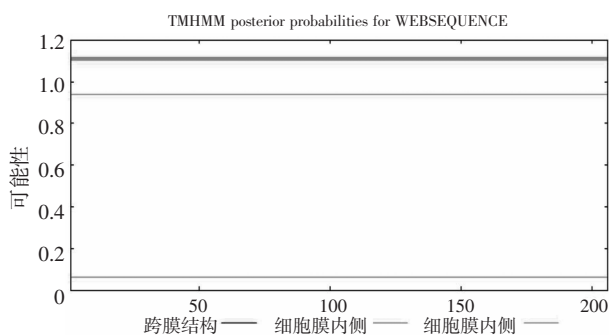


图 6 绵羊 *MXD3* 基因蛋白跨膜螺旋结构分析

2.7 绵羊 *MXD3* 蛋白保守结构域分析

结构域的位置位于超二级结构和三级结构，有独特的空间构象，是蛋白质三级结构的基本单位。保守结构域是基因的核心，有重要的功能。采用 Smart 软件对绵羊 *MXD3* 蛋白保守结构域分析的结果 (图 7、表 1) 表明，绵羊 *MXD3* 蛋白的第 11~26 位、第 122~138 位、第 148~167 位氨基酸残基均为低复杂性区域 (Low complexity region)。

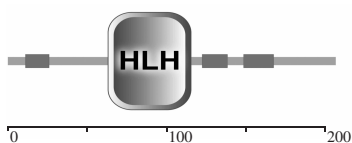


图 7 绵羊 *MXD3* 蛋白保守结构域分析

表 1 绵羊 *MXD3* 蛋白保守结构域分析数据

名称	起始位点	终止位点	E 值
低复杂性区域	11	26	N/A
HLH	63	115	6.03e-9
低复杂性区域	122	138	N/A
低复杂性区域	148	167	N/A

2.8 绵羊 *MXD3* 蛋白亲疏水性分析

通过 Prot Scale 软件判断绵羊 *MXD3* 蛋白亲疏水性发现，绵羊 *MXD3* 蛋白疏水性在氨基酸第 14 位表现最大值 1.667，在第 46 位表现最小值 -3.444，在 0 以下的氨基酸更加密集 ($x < 0$ 为亲水性氨基酸)，且 $|3.444| > |1.667|$ (图 8)，可知绵羊 *MXD3* 蛋白是亲水性蛋白。

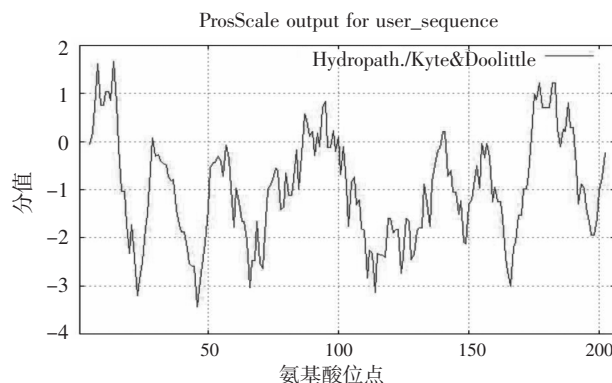


图 8 绵羊 *MXD3* 基因编码蛋白质的疏水性/亲水性预测分析

2.9 绵羊 *MXD3* 蛋白结构预测

2.9.1 蛋白二级结构预测 采用 Jpred 在线软件对绵羊 *MXD3* 蛋白二级结构分析预测 (图 9) 可知， α 螺旋占比为 39.32%， β 折叠占比为 5.34%，无规卷曲占比为 55.34%，无规卷曲占主要地位。

2.9.2 蛋白三级结构预测 蛋白质的三级结构 (tertiary structure) 是指多肽链借助各种作用力，其进一步折叠卷曲成为复杂的球形分子。利用 Swiss-model 在线软件对绵羊 *MXD3* 蛋白三级结构空间构象进行预测分析发现，绵羊 *MXD3* 基因编码蛋白的三级结构主要由无规卷曲与 α 螺旋折叠卷曲构成 (图 10)。

3 小结

绵羊 *MXD3* 基因中有 1 条全长为 621 bp 的 ORF，编码 206 个氨基酸残基。该蛋白分子质量为 23 556.50 KDa，亮氨酸、精氨酸含量最多，均

MEPYASNIQVLLQAAEFLERRERBAEHEFASLCPHRSFQPVHRRERSFQAPGALDSCRSVNELEKRRRAQLKROLBQLKQMLGADCVRYTLLSLLRRATYHIQKLBEQEQRAFQKXKLRKQKSLRQLLQQLRGLGTVGERERLRADSLDSSGLSSERSDSDQBELEVDVYVSLVFGGGEVLLRQFSAGQEHSHYSHSGAATL

图 9 绵羊 *MXD3* 基因编码蛋白质二级结构预测

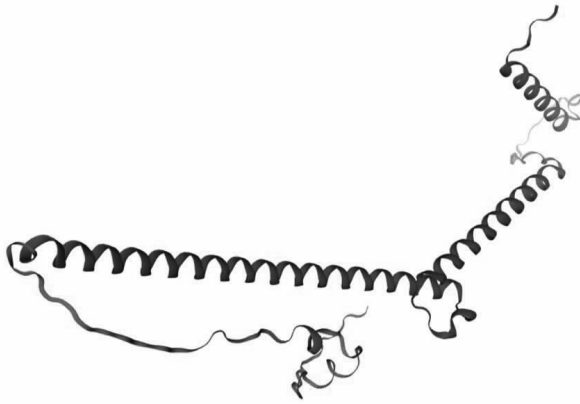


图 10 绵羊 *MXD3* 基因编码蛋白的三级结构的分析

为 13.59%，理论等电点 pI 为 9.32。绵羊 *MXD3* 基因编码蛋白属不稳定蛋白质。亚细胞定位分析，绵羊 *MXD3* 基因主要在细胞核中发挥生物学作用，均为 69.6%。绵羊 *MXD3* 基因的氨基酸序列与多种动物高度相似。绵羊 *MXD3* 基因编码产物中不存在信号肽，不是跨膜蛋白，也不是分泌性蛋白。绵羊 *MXD3* 蛋白为亲水性蛋白。绵羊 *MXD3* 基因编码产物的二级结构由无规卷曲、 α 螺旋和 β 折叠构成，其中无规卷曲占主要地位，三级结构主要由无规卷曲和 α 螺旋折叠卷曲而成。*MXD3* 基因在细胞增殖过程中发挥一定作用，对于肿瘤增殖和癌症患者中表达异常，对于肿瘤和癌症预防，治疗有重要意义，而其在小鼠和人相关方面研究较多，对于绵羊相关 *MXD3* 基因的相关研究有待进一步探索。

参考文献:

- [1] 王 宇. *MXD3* 在肝细胞肝癌中的表达及临床意义 [D]. 荆州: 长江大学, 2023.
- [2] BARISONE G A, NGO T, TRAN M, et al. Role of *MXD3* in proliferation of DAOY human medulloblastoma cells [J]. *PLoS One*, 2012, 7(7): e38508
- [3] BARISONE G A, SATAKE N, LEWIS C, et al. Loss of *MXD3* induces apoptosis of Reh human precursor B acute lymphoblastic leukemia cells [J]. *Blood Cells Mol Dis*, 2015, 54(4): 329-335.
- [4] DUONG C, YOSHIDA S, CHEN C, et al. Novel targeted therapy for neuroblastoma: silencing the *MXD3* gene using siRNA [J]. *Pediatr Res*, 2017, 82(3): 527-535.
- [5] SATAKE N, DUONG C, CHEN C, et al. Targeted therapy with *MXD3* siRNA, anti-CD22 antibody and nanoparticles for precursor B-cell acute lymphoblastic leukaemia [J]. *Br J Haematol*, 2014, 167(4): 487-499.
- [6] 郝 丹. 三个黄牛品种生长性状选择的 *Mxd3* 基因标记研究 [D]. 杨凌: 西北农林科技大学, 2016.
- [7] 黄 艳, 张艳亮, 段 勇. *MXD3* 基因与肿瘤相关性的研究进展 [J]. *实验与检验医学*, 2017, 35(5): 635-637; 641.
- [8] NAIR S K, BURLEY S K. Structural Aspects of Interactions Within the Myc/Max/Mad Network [J]. *Curr Top Microbiol Immunol*, 2006, 302: 123-143.
- [9] BERNHARD LÜSCHER. Function and regulation of the transcription factors of the Myc/Max/Mad network. [J]. *Gene*, 2001, 277(1-2): 1-14.
- [10] 张小雪, 李发弟, 王维民. 绵羊 *ANXA10* 基因生物信息学分析 [J]. *甘肃农业科技*, 2016(6): 1-4.
- [11] 刘 佳, 王 祯, 代友超, 等. 绵羊 *HTR4* 基因的生物信息学分析 [J]. *甘肃农业科技*, 2020(10): 35-40.
- [12] 陈倩玲, 何亚鹏, 张引弟, 等. 绵羊 *RPS20* 基因的生物信息学分析 [J]. *甘肃农业科技*, 2022, 53(8): 39-43.
- [13] 李 娜, 王维民, 张德印, 等. 绵羊 *ADRA1B* 基因生物信息学分析 [J]. *甘肃农业科技*, 2019(9): 42-48.
- [14] 张小雪, 赵利明, 刘 佳, 等. 绵羊 *ELOVL5* 基因的生物信息学分析 [J]. *甘肃农业科技*, 2022, 53(4): 24-29.
- [15] 陈占玉, 黄永亮, 王维民, 等. 绵羊 *HSPA1L* 基因的生物信息学分析 [J]. *甘肃农业科技*, 2022, 53(7): 83-88.
- [16] 靳泽希, 冯 芬, 邓晓银, 等. 绵羊 *NRCAM* 基因的生物信息学分析 [J]. *甘肃农业科技*, 2020(12): 19-24.
- [17] 代淇佳, 马 博, 谢 凡, 等. 绵羊 *ANO5* 基因的生物信息学分析 [J]. *寒旱农业科学*, 2024, 3(1): 37-42.